

山梨大学 工学部 正員 照山 修  
 山梨大学 工学部 正員 犀原 能男  
 静岡県庁 井川 孝

### 1. まえがき

複雑な要素の複合が流出現象の一般的な解析を困難にしているが、その基本的かつ重要な要素である表面流に注目した研究は少なくない。その多くは、流域をモデル化し力学法則に基づいて記述される基礎方程式を解こうとするものである、基礎方程式は非線型となり、その解法としては、特性曲線法がその代表的方法であろう、一方、数値解析に常用される差分法においても、より合理的な手法が次々と提案され最近では Anein<sup>1)</sup> と Fang<sup>2)</sup> の陰式四点差分法がある、この方法は、Courant の安定条件を満足するよう用いると、計算の安定性がよいとされる、これに対して、弱変分原理である Galerkin 法を適用しようとする C. Taylor<sup>3)</sup> の研究がある、この方法は本来、二次元的な複雑な境界を有する問題において有効な方法である。本報では流域を理想化し横流入を有する一定勾配水路に対して、上述述べた陰式四点差分法と有限要素法を用いて非線型方程式を解き、流れの本質としての非線型を考察し、単位図などの線型解析手法と比較して、後者の適用性の限界を調べたための基礎的検討を加えようとするものである。

### 2. 基礎方程式

幅広長方形一様断面水路の流れに対する、運動方程式と連続の方程式はそれぞれ次式で与えられる。

$$\frac{\partial V}{\partial t} + V \frac{\partial V}{\partial x} + g \frac{\partial h}{\partial x} = g(S_0 - S_f) - \frac{gV}{Bh} \quad (1) \quad \frac{\partial h}{\partial t} + V \frac{\partial h}{\partial x} + h \frac{\partial V}{\partial x} = \frac{g_2}{B} \quad (2)$$

ここで、 $V$ : 平均流速  $h$ : 水深  $g_2$ : 水路単位長さ当たりの横流入量  $B$ : 水路幅  $S_0$ : 水路床勾配  
 なお、Manning の抵抗則を仮定すれば  $S_f = n^2 V^2 / R^4$  である。

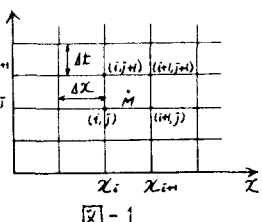
### 3. 陰式四点差分法<sup>1), 2)</sup>

図-1 に示すように、 $x=x_i$ ,  $x=x_{im}$  の縦軸と  $t=t_j$ ,  $t=t_{j+1}$  の横軸との交点に属する水理量をそれぞれ  $d_{ij}$ ,  $d_{im,j}$ ,  $d_{im,j+1}$ ,  $d_{mim,j+1}$  として格子の中央点  $M$  におけるように属する諸量を次のよう表示めます。

$$\begin{aligned} d(M) &= \frac{1}{4} \{ d_{ij} + d_{im,j} + d_{ij+1} + d_{im,j+1} \} \quad \frac{\partial d(M)}{\partial x} = \frac{1}{2h} \{ (d_{im,j} + d_{im,j+1}) - (d_{ij} + d_{ij+1}) \} \\ \frac{\partial d(M)}{\partial t} &= \frac{1}{2ht} \{ (d_{ij+1} + d_{im,j+1}) - (d_{ij} + d_{im,j}) \} \end{aligned} \quad (3)$$

式(1), (2)を上式のように差分化すると一般に以下のように表わせる。

$$F_i(h_{ij}, h_{im,j}, V_{ij}, V_{im,j+1}) = 0 \quad (4) \quad G_i(h_{ij}, h_{im,j}, V_{ij}, V_{im,j+1}) = 0 \quad (5)$$



上の方程式は  $N$  個の格子点に対して、 $2(N-1)$  個の方程式を有し、それらの方程式中に  $2N$  個の未知量を含む、従って、境界条件より 2 個の方程式（上流端境界条件  $G_0(h_{ij}, V_{ij}) = 0$ 、下流端境界条件  $F_N(h_{im,j}, V_{im,j+1}) = 0$ ）が用意されれば解けることになる。これらの方程式は非線形代数方程式であるので Newton 法により収束計算を行なう。

### 4. 有限要素法<sup>2)</sup>

式(1), (2)を Galerkin 法を適用すると以下となる。

$$\int V_e^* \left( \frac{\partial V}{\partial t} + V \frac{\partial V}{\partial x} + g \frac{\partial h}{\partial x} - g(S_0 - S_f) + \frac{gV}{Bh} \right) dx = 0 \quad (6) \quad \int h_e^* \left( \frac{\partial h}{\partial t} + V \frac{\partial h}{\partial x} + h \frac{\partial V}{\partial x} - \frac{g_2}{B} \right) dx = 0 \quad (7)$$

ここで、 $h_e^*$ ,  $V_e^*$  は重み関数、 $h_e$ ,  $V_e$  は  $h$ ,  $V$  各節点での値を用いて表わしたもので

$$V_e = \sum_{i=1}^N N_i V_i \quad h_e = \sum_{i=1}^N N_i h_i \quad V_e^* = \sum_{i=1}^N N_i V_i^* \quad h_e^* = \sum_{i=1}^N N_i h_i^*$$

また、 $N_i$  は形状関数、 $\eta_i$  は 1 個の要素における節点数ある時間レベルで式(8),(9)は  $[M]\{\dot{Q}\}_{t+\Delta t} = [F]_{t+\Delta t}$  とまとめて書くことができる。この方程式を差分近似することにより逐次積分して解く方法を用いる。すなわち、次の方程式を解くことになる。

$$[M]\{\dot{Q}\}_{t+\Delta t} = [M]\{\dot{Q}\}_t + \frac{\Delta t}{2} ([F]_{t+\Delta t} + [F]_t) \quad (8)$$

本論文では、初期条件として、初期流量を基底流量として射流として流れているものとした。また、境界条件は上流端では常に初期。基底流量が保持されていると仮定した。すなわち、上流端での水深、流速が時間によって変化しないとした。上に述べた 2 つの方法とも格子分割に際し、次式で示される Courant の安定条件が満足されていなければならない前提としている。  
 $|At| < 4x / |V + \sqrt{gh}|$

また、式(8)を解くにあたり、時刻  $t$  における  $V, h$  の節点値を集中化した係数マトリックスを用いた。すなわち、次式を解いて。

$$[\tilde{M}]\{\dot{Q}\}_{t+\Delta t} = [\tilde{M}]\{\dot{Q}\}_t + \frac{\Delta t}{2} ([F]_{t+\Delta t} + [F]_t) \quad (9)$$

## 5. 計算結果

最初に陰式四点差分法と有限要素法の異なる単位の横流入に対するハイドログラフの比較を行なう。最大流量、到達時間  $T$  7% 位の計算誤差が含まれた。図-3 は粗度係数  $n$  を変化させたときのハイドログラフである。本論文は、勾配を  $1/20$  という急勾配を取り扱ったために  $S_f$  の影響が大きく、粗度係数  $n$  による最大流量の差異は顕著に表われる。図-4 より、到達時間は、横流入（降雨強度）に反比例して遅くなる。図-5 より、横流入が到達時間前に終了すると、横流入強度と最大流量の関係は、非線型となる。図-6 は、入力パターンの違いに対する流出の変化の様子を調べたものである。

## 6.まとめ

本論文では、射流状態の不定流について数値計算し、流れの非線型特性を調べたものであるが、常流の場合を含めると、境界条件の設定、跳水等の問題を検討する必要がある。

## 7. 参考文献

- 1) Amaia, M. and Fang, C.S.; Implicit flood routing in natural channels. Proc. ASCE, Vol. 96, H.Y.12, pp 2481-2500, 1990
- 2) Taylor, C., Al-Mashidai, G. and Davis, J.M.: A Finite Element Approach to Watershed Runoff, Jour. of Hydrology, Vol. 21, pp 231-246, 1974
- 3) 萩原能見;「流出現象の非定常解析」, 土木学会

水工シリーズ 77-A-3 1977-7

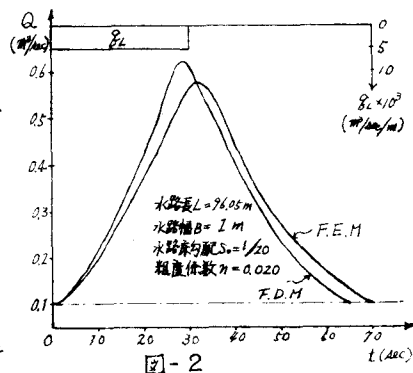


図-2

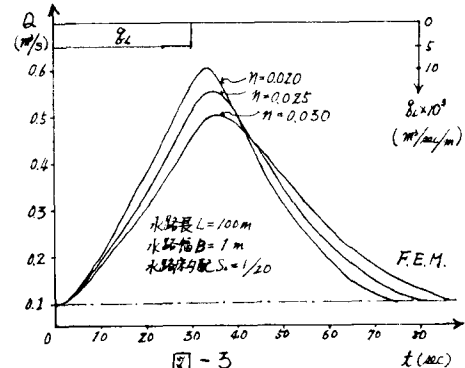


図-3

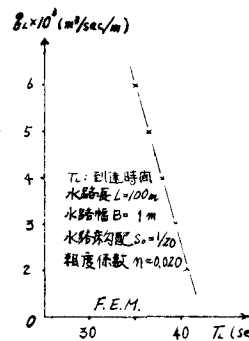


図-4

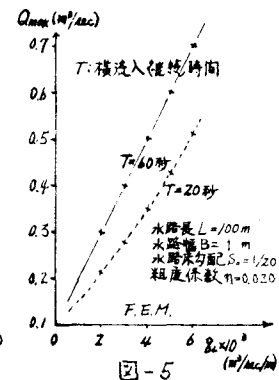


図-5

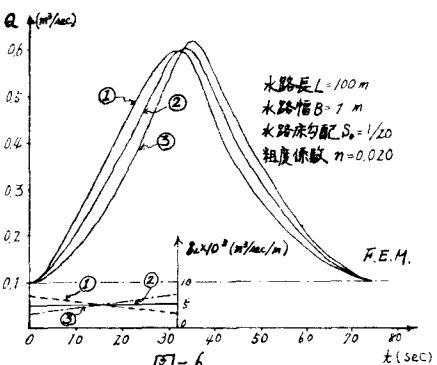


図-6